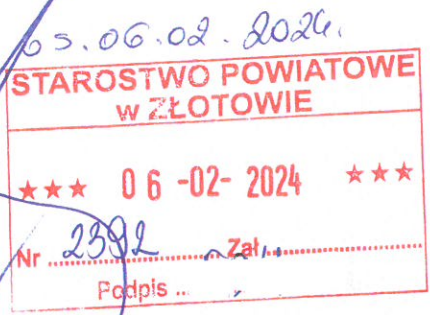


T-Mobile Polska S.A.
ul. Marynarska 12
02-674 Warszawa

05.06.23.4.2024
05.06.24.2.8.2024

Poznań, dn. 2024-01-31

nr ref. 8/kan



Starosta Złotowski
Starostwo Powiatowe w Złotowie
Al. Piasta 32
77-400 Złotów

Dotyczy: ustawowego obowiązku, wynikającego z art. 152 ust. 1 i ust. 7 w związku z ust. 6 pkt 1c ustawy z dnia 27 kwietnia 2001r – Prawo ochrony środowiska (Dz.U. 2024 poz. 54).

Działając z upoważnienia T-Mobile Polska S.A. z siedzibą ul. Marynarska 12, 02-674 Warszawa, informuję o zmianie danych w zakresie wielkości i rodzaju emisji dla instalacji radiokomunikacyjnej 44115 (64115N!) PPI_ZAKRZEWO_KUJAN zlokalizowanej w miejscowości KUJAN 18. W stosunku do informacji zawartej w zgłoszeniu realizowanym dla tej instalacji w trybie art. 152 ust. 1 i 5 ustawy z dnia 27 kwietnia 2001r – Prawo ochrony środowiska (Dz.U. 2024 poz. 54), dane ulegają zmianie w następujący sposób:

9. Wielkość i rodzaj emisji²⁾:

Pole elektromagnetyczne. EIRP poszczególnych anten zostało podane w pkt 12, tj.

Lp.	Równoważna moc promieniowana izotropowo (EIRP) [W]
1.	24086
2.	22646
3.	24086
4.	22646
5.	24086
6.	22646
7.	24086
8.	22646
9.	5637/6310

12. Szczegółowe dane, odpowiednio do rodzaju instalacji, zgodne z wymaganiami określonymi w załączniku nr 2 do Rozporządzenia:

Lp.	1)	2)	3)	4)	5)	
	Współrzędne geograficzne	Częstotliwość lub zakresy częstotliwości pracy instalacji [MHz]	Wysokość środka elektrycznego anteny [m n.p.t.]	Równoważna moc promieniowana izotropowo (EIRP) [W]	Azymut [°]	Kąt pochylenia lub zakresy kątów pochylenia [°]
1.	17°11'22.8" 53°21'42.1"	800/900/1800/ 2100	57.3	24086	80	-2-10/-3-9/-3-9/-3-9
2.	17°11'22.8" 53°21'42.1"	3600	57.3	22646	80	-4-8
3.	17°11'22.7" 53°21'42"	800/900/1800/ 2100	57.3	24086	190	-2-10/-4-8/-3-9/-3-9
4.	17°11'22.7" 53°21'42.1"	3600	57.3	22646	190	-4-8
5.	17°11'22.7" 53°21'42.1"	800/900/1800/ 2100	57.3	24086	270	-1-11/-3-9/-2-10/-2-10
6.	17°11'22.7" 53°21'42.1"	3600	57.3	22646	270	-4-8
7.	17°11'22.7" 53°21'42.1"	800/900/1800/ 2100	57.3	24086	350	-1-11/-3-9/-2-10/-2-10
8.	17°11'22.7" 53°21'42.1"	3600	57.3	22646	350	-4-8
9.	17°11'22.7" 53°21'42.1"	23000/80000	60	5637/6310	334*	nd.

*) tolerancja azymutu od -10° do +10°.

Informuję, iż dokonane zmiany w zakresie wielkości i rodzaju emisji przedmiotowej instalacji nie powodują zmiany instalacji w sposób istotny zgodnie z art. 3 pkt 7 ustawy Poś.

W załączniku przesyłam:

1. Pełnomocnictwo
2. Kopia potwierdzenia wniesienia opłaty skarbowej.

Otrzymują:

1. a/a
2. adresat



NetWorks Sp. z o.o.
Laboratorium Badań Środowiskowych
ul. Józefa Piusa Dziekońskiego 3
00-728 Warszawa
e-mail: Laboratorium@networks.pl



AB 419

S P R A W O Z D A N I E 12051/2023/OS
Z POMIARÓW PÓL ELEKTROMAGNETYCZNYCH
WYKONANYCH DLA POTRZEB OCHRONY ŚRODOWISKA

Badany obiekt: Instalacja radiokomunikacyjna T-Mobile Polska S.A.
Numer i nazwa: 44115 (64115N!) PPI_ZAKRZEWO_KUJAN
Adres: KUJAN 18, Powiat złotowski, WOJ. WIELKOPOLSKIE

Data wykonania pomiarów: 2024-02-06

Sprawozdanie z badań bez pisemnej zgody laboratorium nie może być powielane inaczej niż w całości.
Wynik przedstawione w niniejszym sprawozdaniu odnoszą się wyłącznie do badanego obiektu i do warunków i konfiguracji
urządzeń w dniu wykonywania pomiarów.

1. Właściciel badanego obiektu:

T-Mobile Polska S.A., ul. Marynarska 12, 02-674 Warszawa

2. Zleceniodawca:

T-Mobile Polska S.A., ul. Marynarska 12, 02-674 Warszawa

3. Przedstawiciel zleceniodawcy:

NetWorks Sp. z o.o.

4. Zakres zlecenia:

Wykonanie badania i opracowanie sprawozdania z pomiarów natężenia pola elektrycznego i pola magnetycznego dla instalacji radiokomunikacyjnej T-Mobile Polska S.A. zlokalizowanej w miejscowości KUJAN 18.

5. Cel zlecenia:

Wykonanie pomiarów pól elektromagnetycznych w otoczeniu instalacji radiokomunikacyjnej 44115 (64115N!) PPI_ZAKRZEWO_KUJAN w odniesieniu do wymagań określonych w Rozporządzeniu Ministra Klimatu z dnia 17 lutego 2020 r. w sprawie sposobów sprawdzania dotrzymania dopuszczalnych poziomów pól elektromagnetycznych w środowisku (Dz.U. 2022 poz. 2630).

6. Pomiary zostały wykonane przez:

Ciesielski Daniel

7. Informacje o źródłach pól elektromagnetycznych

7.1. Sposób identyfikacji badanych źródeł pól elektromagnetycznych

Identyfikacji źródeł i parametrów technicznych dokonano na podstawie analizy dokumentacji dotyczącej zlecenia oraz obserwacji miejsca wykonywania badań.

7.2. Opis miejsca zainstalowania anten i urządzeń technicznych. Opis obiektu badań i jego otoczenia

Instalacja radiokomunikacyjna zlokalizowana jest na terenie ogrodzonym. Anteny zawieszono na wieży kratowej. Urządzenia sterujące oraz zasilające zainstalowano w kontenerze u podstawy wieży. Wokół instalacji znajduje się wieś.

Instalacja radiokomunikacyjna jest obiektem bezobsługowym. Okresowe stanowiska pracy związane są z prowadzonymi w zależności od potrzeb konserwacjami, przeglądami, strojeniem i naprawami.

Sprawozdanie z badań bez pisemnej zgody laboratorium nie może być powielane inaczej niż w całości.
Wynik przedstawione w niniejszym sprawozdaniu odnoszą się wyłącznie do badanego obiektu i do warunków i konfiguracji urządzeń w dniu wykonywania pomiarów.

7.3. Parametry techniczne źródła pola elektromagnetycznego

Dane przedstawiające maksymalne parametry pracy instalacji przekazane przez zleceniodawcę:

Parametry systemu nadawczo-odbiorczego:

Charakterystyka promieniowania		kierunkowa					
Rzeczywisty czas pracy [h/dobę]		24					
Warunki pracy		znamionowe					
Rodzaj wytwarzanego pola		stacjonarne					
Lp.	Częstotliwość lub zakresy częstotliwości pracy [MHz]	Typ/producent anteny	liczba anten	Azymut [°]	kąt pochylecia [°]	Wysokość środka elektrycznego anteny [m n.p.t]	Równoważna moc promieniowana izotropowo (EIRP) [W]
1	800/900/1800/2100	ASI4518R10v18 Huawei	1	80	-2-10**/-3-9**/-3-9**/-3-9**	57.3	24086
2	3600	AQQQ NSN	1	80	-4-8**	57.3	22646
3	800/900/1800/2100	ASI4518R10v18 Huawei	1	190	-2-10**/-4-8**/-3-9**/-3-9**	57.3	24086
4	3600	AQQQ NSN	1	190	-4-8**	57.3	22646
5	800/900/1800/2100	ASI4518R10v18 Huawei	1	270	-1-11**/-3-9**/-2-10**/-2-10**	57.3	24086
6	3600	AQQQ NSN	1	270	-4-8**	57.3	22646
7	800/900/1800/2100	ASI4518R10v18 Huawei	1	350	-1-11**/-3-9**/-2-10**/-2-10**	57.3	24086
8	3600	AQQQ NSN	1	350	-4-8**	57.3	22646

* wskazane wartości kąta pochylecia anten, zgodnie z informacją uzyskaną od zleceniodawcy, są wartościami stałymi

** pomiary wykonano zgodnie z pkt 13., ppkt 2 załącznika do Rozporządzenia Ministra Klimatu z dnia 17 lutego 2020 r. (Dz. U. 2022, poz. 2630).

Parametry radiolinii:

Charakterystyka promieniowania		kierunkowa					
Rzeczywisty czas pracy [h/dobę]		24					
Warunki pracy		znamionowe					
Rodzaj wytwarzanego pola		stacjonarne					
Lp.	Linia radiowa			Antena			
	Typ/Producent	Częstotliwość pracy [GHz]	Równoważna moc promieniowana izotropowo (EIRP) [W]	Typ/producent	Średnica anteny [m]	Azymut [°]	Wysokość zainstalowania n.p.t [m]
1.	RTN XMC-5D 23G 28MHz XPIC/ RTN 380AX DC 70/80GHz 500MHz Huawei	23/80	5637/6310	A23D80S06 Huawei	0.6	334	60

7.4 Inne źródła pól elektromagnetycznych

Na podstawie informacji otrzymanych od użytkownika oraz obserwacji otoczenia miejsca wykonywania pomiarów stwierdzono występowanie innych źródeł pola-EM, pracujących w systemie: telefonii komórkowej (800MHz-2600MHz), linii radiowych (5GHz – 90GHz), które istotnie wpływają na wyniki pomiarów.

Sprawozdanie z badań bez pisemnej zgody laboratorium nie może być powielane inaczej niż w całości.
 Wynik przedstawione w niniejszym sprawozdaniu odnoszą się wyłącznie do badanego obiektu i do warunków i konfiguracji urządzeń w dniu wykonywania pomiarów.

8. Opis pomiarów

8.1. Metoda badań

Zgodna z rozporządzeniem Ministra Klimatu z dnia 17 lutego 2020 r. w sprawie sposobów sprawdzania dotrzymania dopuszczalnych poziomów pól elektromagnetycznych w środowisku (Dz.U. 2022 poz. 2630), określona w pkt 25 ppkt 1 załącznika do niniejszego rozporządzenia.

8.2. Termin pomiarów i warunki środowiskowe

Podczas wykonywania pomiarów pól elektromagnetycznych nie występowały opady atmosferyczne. Wyniki pomiaru parametrów pogodowych przedstawia poniższa tabela:

Data [rrrr-mm-dd]	Godzina [hh:mm-hh:mm]	Warunki środowiskowe			
		Temperatura [°C]		Wilgotność względna [%]	
2024-02-06	13:15-14:50	Przed pomiarem	Po pomiarach	Przed pomiarem	Po pomiarach
		7.0	7.2	81.5	81.5

Przedstawione wyżej warunki środowiskowe, występujące podczas wykonywania pomiarów pól elektromagnetycznych, są zgodne ze specyfikacją techniczną użytego zestawu pomiarowego.

8.3. Warunki pracy urządzeń nadawczych

Podczas pomiarów w przypadku uzyskania wyniku pomiaru szerokopasmowego wykonanego zastosowaną metodą, dla zakresów częstotliwości od 10 MHz do 300 GHz, powiększonego o rozszerzoną niepewność pomiaru U dla współczynnika rozszerzenia $k = 2$ przekraczającego 70% najniższej dopuszczalnej wartości składowej elektrycznej lub magnetycznej pola dla objętych pomiarami zakresów częstotliwości, uwzględnia się poprawki pomiarowe przekazane przez zleceniodawcę, umożliwiające uwzględnienie maksymalnych parametrów pracy instalacji zgodnie z pkt 7 załącznika do Rozporządzeniem Ministra Klimatu z dnia 17 lutego 2020 r. w sprawie sposobów sprawdzania dotrzymania dopuszczalnych poziomów pól elektromagnetycznych w środowisku (Dz. U. 2022, poz. 2630) zaznaczając, że wymagane jest wykonanie pomiaru z wykorzystaniem miernika selektywnego. W przypadku uzyskania wyniku pomiaru szerokopasmowego wykonanego zastosowaną metodą, dla zakresów częstotliwości od 10 MHz do 300 GHz, powiększonego o rozszerzoną niepewność pomiaru U dla współczynnika rozszerzenia $k = 2$ nieprzekraczającego 70% najniższej dopuszczalnej wartości składowej elektrycznej lub magnetycznej pola dla objętych pomiarami zakresów częstotliwości, nie uwzględnia się poprawek pomiarowych.

8.4. Wyposażenie pomiarowe

Zestaw pomiarowy służący do pomiaru natężenia składowej elektrycznej pola elektromagnetycznego złożony z szerokopasmowego miernika i sondy pomiarowej:

Oznaczenie miernika	Producent	Model	Numer fabryczny	Oznaczenie sondy	Producent	Model	Numer fabryczny
MW-04	Wavecontrol	Miernik pól elektromagnetycznych SMP2	22SN1953	SW-07	Wavecontrol	Sonda WPF60	22WP230193

Mierniki natężenia pola elektromagnetycznego podlegają okresowemu sprawdzeniu zgodnie z procedurą wewnętrzną P-03 i PB-01. Świadczenie wzorcowania zestawu pomiarowego z dnia 10 maja 2023 o numerze LWiMP/W/172/23 wydane przez Politechnika Wrocławską.

Data ważności świadectwa wzorcowania: 10 maja 2025 (zgodnie z procedurą wewnętrzną P-03).

Oznaczenie miernika	Producent	Model	Numer fabryczny	Oznaczenie sondy	Producent	Model	Numer fabryczny
MW-04	Wavecontrol	Miernik pól elektromagnetycznych SMP2	22SN1953	SW-08	Wavecontrol	Sonda WPF3-HP	22WP030430

Mierniki natężenia pola elektromagnetycznego podlegają okresowemu sprawdzeniu zgodnie z procedurą wewnętrzną P-03 i PB-01. Świadczenie wzorcowania zestawu pomiarowego z dnia 10 czerwca 2022 o numerze LWiMP/W/155/22 wydane przez Politechnika Wrocławską.

Data ważności świadectwa wzorcowania: 10 czerwca 2024 (zgodnie z procedurą wewnętrzną P-03).

Termohigrometr:

Oznaczenie:	TH-13	Producent:	AZ INSTRUMENT CORP	Model:	Termohigrometr AZ8706
-------------	-------	------------	--------------------	--------	-----------------------

Data ważności świadectwa wzorcowania: 3 stycznia 2025 (zgodnie z procedurą wewnętrzną P-03).

Sprawozdanie z badań bez pisemnej zgody laboratorium nie może być powielane inaczej niż w całości. Wynik przedstawione w niniejszym sprawozdaniu odnoszą się wyłącznie do badanego obiektu i do warunków i konfiguracji urządzeń w dniu wykonywania pomiarów.

Dalmierz:

Oznaczenie	Producent	Typ	Numer seryjny	Nr świadectwa wzorcowania	Data świadectwa wzorcowania
D-10	Leica	Dalmierz Leica Disto D510	1042956690	4609.13-M11-4180-1748/14	9 stycznia 2015

Data ważności świadectwa wzorcowania: 9 stycznia 2025 (zgodnie z procedurą wewnętrzną P-03).

Odbiornik GNSS:

Odbiornik GNSS wbudowany w miernik natężenia pola elektromagnetycznego użyty podczas pomiarów	Producent	Model
	UBlox	MAX-M8Q

Odbiorniki podlegają okresowemu sprawdzeniu zgodnie z procedurą wewnętrzną P-03.

9. Wyniki pomiarów

Pole elektryczne

Nr pionu	Opis umiejscowienia pionu (punktu) pomiarowego	Wysokość pomiaru [m]	Zmierzona wartość natężenia pola elektrycznego E [V/m] ^{1,5}			Wartość natężenia pola elektrycznego powiększona o niepewność pomiaru ⁴ E [V/m]	Wskaźnikowa wartość poziomu emisji pól elektromagnetycznych WME ³	Współrzędne geograficzne pionu (punktu) pomiarowego ²
			Sonda SW-07	Sonda SW-08	SUMA			
1	DPP abrama hali tartaku	2.0	1.9	1.9	1.9	2.4	0.09	53°21'42.1" 17°11'28.0"
2	GKP w odległości 3m od anteny sektorowej az. 80°	2.0	2.0	2.0	2.0	2.6	0.09	53°21'42.5" 17°11'22.9"
3	GKP w odległości 37m od anteny sektorowej az. 80°	2.0	2.2	2.2	2.2	2.8	0.1	53°21'42.5" 17°11'24.7"
4	GKP w odległości 83m od anteny sektorowej az. 80°	2.0	2.4	2.4	2.4	3.1	0.11	53°21'42.8" 17°11'27.2"
5	GKP w odległości 6m od anteny sektorowej az.190°	2.0	2.1	2.1	2.1	2.7	0.1	53°21'42.1" 17°11'22.9"
6	GKP w odległości 33m od anteny sektorowej az.190°	2.0	2.4	2.4	2.4	3.1	0.11	53°21'41.4" 17°11'22.6"
7	GKP w odległości 75m od anteny sektorowej az.190°	2.0	2.5	2.5	2.5	3.2	0.12	53°21'40.0" 17°11'22.2"
8	GKP w odległości 4m od anteny sektorowej az.270°	2.0	2.2	2.2	2.2	2.8	0.1	53°21'42.5" 17°11'22.6"
9	GKP w odległości 36m od anteny sektorowej az.270°	2.0	2.3	2.3	2.3	3	0.11	53°21'42.5" 17°11'20.8"
10	GKP w odległości 64m od anteny sektorowej az.270°	2.0	2.2	2.2	2.2	2.8	0.1	53°21'42.5" 17°11'19.3"
11	GKP w odległości 14m od anteny radioliniowej az.334°	2.0	2.2	2.2	2.2	2.8	0.1	53°21'42.8" 17°11'22.6"
12	GKP w odległości 50m od anteny radioliniowej az.334°	2.0	2.3	2.3	2.3	3	0.11	53°21'43.9" 17°11'21.8"
13	GKP w odległości 19m od anteny sektorowej az. 350°	2.0	2.1	2.1	2.1	2.7	0.1	53°21'42.8" 17°11'22.6"
14	GKP w odległości 48m od anteny sektorowej az. 350°	2.0	2.2	2.5	2.2	3.3	0.12	53°21'43.9" 17°11'22.6"
15	GKP w odległości 91m od anteny sektorowej az. 350°	2.0	2.4	2.4	2.4	3.1	0.11	53°21'45.4" 17°11'21.8"
16	PKP na az. 277° w odległości 50m od anteny sektorowej	2.0	2.6	2.6	2.6	3.3	0.12	53°21'42.5" 17°11'20.0"

Sprawozdanie z badań bez pisemnej zgody laboratorium nie może być powielane inaczej niż w całości.
 Wynik przedstawione w niniejszym sprawozdaniu odnoszą się wyłącznie do badanego obiektu i do warunków i konfiguracji urządzeń w dniu wykonywania pomiarów.

	az. 270°							
17	PKP na az. 290° w odległości 50m od anteny sektorowej az. 270°	2.0	2.5	2.5	2.5	3.2	0.12	53°21'42.8" 17°11'20.4"
18	PKP na az. 305° w odległości 50m od anteny sektorowej az. 270°	2.0	2.3	2.3	2.3	3	0.11	53°21'43.2" 17°11'20.4"
19	PKP na az. 315° w odległości 51m od anteny sektorowej az. 350°	2.0	2.6	2.6	2.6	3.3	0.12	53°21'43.6" 17°11'20.8"
20	PKP na az. 330° w odległości 51m od anteny sektorowej az. 350°	2.0	2.5	2.5	2.5	3.2	0.12	53°21'43.9" 17°11'21.5"
21	PKP na az. 343° w odległości 50m od anteny sektorowej az. 350°	2.0	2.4	2.4	2.4	3.1	0.11	53°21'43.9" 17°11'22.2"
22	PKP na az. 357° w odległości 48m od anteny sektorowej az. 350°	2.0	2.3	2.3	2.3	3	0.11	53°21'43.9" 17°11'22.6"
23	PKP na az. 10° w odległości 49m od anteny sektorowej az. 350°	2.0	2.5	2.5	2.5	3.2	0.12	53°21'43.9" 17°11'23.3"
24	PKP na az. 25° w odległości 50m od anteny sektorowej az. 350°	2.0	2.4	2.4	2.4	3.1	0.11	53°21'43.9" 17°11'24.0"
25	PKP na az. 45° w odległości 47m od anteny sektorowej az. 80°	2.0	2.3	2.3	2.3	3	0.11	53°21'43.6" 17°11'24.7"
26	PKP na az. 60° w odległości 46m od anteny sektorowej az. 80°	2.0	2.6	2.6	2.6	3.3	0.12	53°21'43.2" 17°11'25.1"
27	PKP na az. 73° w odległości 44m od anteny sektorowej az. 80°	2.0	2.5	2.5	2.5	3.2	0.12	53°21'42.8" 17°11'25.1"
28	PKP na az. 87° w odległości 43m od anteny sektorowej az. 80°	2.0	2.5	2.5	2.5	3.2	0.12	53°21'42.5" 17°11'25.4"
29	PKP na az. 100° w odległości 42m od anteny sektorowej az. 80°	2.0	2.4	2.4	2.4	3.1	0.11	53°21'42.1" 17°11'25.1"
30	PKP na az. 115° w odległości 41m od anteny sektorowej az. 80°	2.0	2.6	2.6	2.6	3.3	0.12	53°21'41.8" 17°11'25.1"
31	PKP na az. 155° w odległości 44m od anteny sektorowej az. 190°	2.0	2.7	2.7	2.7	3.5	0.12	53°21'41.0" 17°11'24.0"
32	PKP na az. 170° w odległości 49m od anteny sektorowej az. 190°	2.0	2.4	2.4	2.4	3.1	0.11	53°21'40.7" 17°11'23.3"
33	PKP na az. 183° w odległości 50m od anteny sektorowej az. 190°	2.0	2.5	2.5	2.5	3.2	0.12	53°21'40.7" 17°11'22.6"
34	PKP na az. 197° w odległości 50m od anteny sektorowej az. 190°	2.0	2.2	2.2	2.2	2.8	0.1	53°21'40.7" 17°11'22.2"
35	PKP na az. 210° w odległości 50m od anteny sektorowej az. 190°	2.0	2.4	2.4	2.4	3.1	0.11	53°21'41.0" 17°11'21.5"

Sprawozdanie z badań bez pisemnej zgody laboratorium nie może być powielane inaczej niż w całości.
 Wynik przedstawione w niniejszym sprawozdaniu odnoszą się wyłącznie do badanego obiektu i do warunków i konfiguracji urządzeń w dniu wykonywania pomiarów.

36	PKP na az. 225° w odległości 49m od anteny sektorowej az. 190°	2.0	2.5	2.5	2.5	3.2	0.12	53°21'41.0" 17°11'21.1"
37	PKP na az. 235° w odległości 46m od anteny sektorowej az. 270°	2.0	2.4	2.4	2.4	3.1	0.11	53°21'41.4" 17°11'20.8"
38	PKP na az. 250° w odległości 45m od anteny sektorowej az. 270°	2.0	2.5	2.5	2.5	3.2	0.12	53°21'41.8" 17°11'20.4"
39	PKP na az. 263° w odległości 43m od anteny sektorowej az. 270°	2.0	2.5	2.5	2.5	3.2	0.12	53°21'42.1" 17°11'20.4"
-	GKP w odległości 458m od anteny sektorowej az. 350°	0.3-2.0	<1.0*	<1.0*	<1.0*	1.3	0.05	53°21'56.9" 17°11'18.6"
-	GKP w odległości 470m od anteny sektorowej az. 80°	0.3-2.0	<1.0*	<1.0*	<1.0*	1.3	0.05	53°21'45.0" 17°11'48.1"
-	GKP w odległości 479m od anteny sektorowej az. 190°	0.3-2.0	<1.0*	<1.0*	<1.0*	1.3	0.05	53°21'27.0" 17°11'18.2"
-	GKP w odległości 469m od anteny sektorowej az. 270°	0.3-2.0	<1.0*	<1.0*	<1.0*	1.3	0.05	53°21'42.5" 17°10'57.4"

Pole magnetyczne (wyznaczone na podstawie pomiaru wartości natężenia pola elektrycznego)

Nr pionu	Opis umiejscowienia pionu (punktu) pomiarowego	Wysokość pomiaru [m]	Wartość natężenia pola magnetycznego H [A/m] ¹			Wartość natężenia pola magnetycznego powiększona o niepewność pomiaru ⁴ H [A/m]	Wskaźnikowa wartość emisji pól elektromagnetycznych WM _H ³	Współrzędne geograficzne pionu (punktu) pomiarowego ²
			Sonda SW-07	Sonda SW-08	SUMA			
1	DPP abrama hali tartaku	2.0	0.005	0.005	0.005	0.006	0.09	53°21'42.1" 17°11'28.0"
2	GKP w odległości 3m od anteny sektorowej az. 80°	2.0	0.005	0.005	0.005	0.007	0.09	53°21'42.5" 17°11'22.9"
3	GKP w odległości 37m od anteny sektorowej az. 80°	2.0	0.006	0.006	0.006	0.008	0.1	53°21'42.5" 17°11'24.7"
4	GKP w odległości 83m od anteny sektorowej az. 80°	2.0	0.006	0.006	0.006	0.008	0.11	53°21'42.8" 17°11'27.2"
5	GKP w odległości 6m od anteny sektorowej az. 190°	2.0	0.006	0.006	0.006	0.007	0.1	53°21'42.1" 17°11'22.9"
6	GKP w odległości 33m od anteny sektorowej az. 190°	2.0	0.006	0.006	0.006	0.008	0.11	53°21'41.4" 17°11'22.6"
7	GKP w odległości 75m od anteny sektorowej az. 190°	2.0	0.007	0.007	0.007	0.009	0.12	53°21'40.0" 17°11'22.2"
8	GKP w odległości 4m od anteny sektorowej az. 270°	2.0	0.006	0.006	0.006	0.008	0.1	53°21'42.5" 17°11'22.6"
9	GKP w odległości 36m od anteny sektorowej az. 270°	2.0	0.006	0.006	0.006	0.008	0.11	53°21'42.5" 17°11'20.8"
10	GKP w odległości 64m od anteny sektorowej az. 270°	2.0	0.006	0.006	0.006	0.008	0.1	53°21'42.5" 17°11'19.3"
11	GKP w odległości 14m od anteny radioliniowej az. 334°	2.0	0.006	0.006	0.006	0.008	0.1	53°21'42.8" 17°11'22.6"
12	GKP w odległości 50m od anteny radioliniowej az. 334°	2.0	0.006	0.006	0.006	0.008	0.11	53°21'43.9" 17°11'21.8"
13	GKP w odległości 19m od anteny sektorowej az. 350°	2.0	0.006	0.006	0.006	0.007	0.1	53°21'42.8" 17°11'22.6"

Sprawozdanie z badań bez pisemnej zgody laboratorium nie może być powielane inaczej niż w całości.
 Wynik przedstawione w niniejszym sprawozdaniu odnoszą się wyłącznie do badanego obiektu i do warunków i konfiguracji urządzeń w dniu wykonywania pomiarów.

14	GKP w odległości 48m od anteny sektorowej az. 350°	2.0	0.006	0.007	0.007	0.009	0.12	53°21'43.9" 17°11'22.6"
15	GKP w odległości 91m od anteny sektorowej az. 350°	2.0	0.006	0.006	0.006	0.008	0.11	53°21'45.4" 17°11'21.8"
16	PKP na az. 277° w odległości 50m od anteny sektorowej az. 270°	2.0	0.007	0.007	0.007	0.009	0.12	53°21'42.5" 17°11'20.0"
17	PKP na az. 290° w odległości 50m od anteny sektorowej az. 270°	2.0	0.007	0.007	0.007	0.009	0.12	53°21'42.8" 17°11'20.4"
18	PKP na az. 305° w odległości 50m od anteny sektorowej az. 270°	2.0	0.006	0.006	0.006	0.008	0.11	53°21'43.2" 17°11'20.4"
19	PKP na az. 315° w odległości 51m od anteny sektorowej az. 350°	2.0	0.007	0.007	0.007	0.009	0.12	53°21'43.6" 17°11'20.8"
20	PKP na az. 330° w odległości 51m od anteny sektorowej az. 350°	2.0	0.007	0.007	0.007	0.009	0.12	53°21'43.9" 17°11'21.5"
21	PKP na az. 343° w odległości 50m od anteny sektorowej az. 350°	2.0	0.006	0.006	0.006	0.008	0.11	53°21'43.9" 17°11'22.2"
22	PKP na az. 357° w odległości 48m od anteny sektorowej az. 350°	2.0	0.006	0.006	0.006	0.008	0.11	53°21'43.9" 17°11'22.6"
23	PKP na az. 10° w odległości 49m od anteny sektorowej az. 350°	2.0	0.007	0.007	0.007	0.009	0.12	53°21'43.9" 17°11'23.3"
24	PKP na az. 25° w odległości 50m od anteny sektorowej az. 350°	2.0	0.006	0.006	0.006	0.008	0.11	53°21'43.9" 17°11'24.0"
25	PKP na az. 45° w odległości 47m od anteny sektorowej az. 80°	2.0	0.006	0.006	0.006	0.008	0.11	53°21'43.6" 17°11'24.7"
26	PKP na az. 60° w odległości 46m od anteny sektorowej az. 80°	2.0	0.007	0.007	0.007	0.009	0.12	53°21'43.2" 17°11'25.1"
27	PKP na az. 73° w odległości 44m od anteny sektorowej az. 80°	2.0	0.007	0.007	0.007	0.009	0.12	53°21'42.8" 17°11'25.1"
28	PKP na az. 87° w odległości 43m od anteny sektorowej az. 80°	2.0	0.007	0.007	0.007	0.009	0.12	53°21'42.5" 17°11'25.4"
29	PKP na az. 100° w odległości 42m od anteny sektorowej az. 80°	2.0	0.006	0.006	0.006	0.008	0.11	53°21'42.1" 17°11'25.1"
30	PKP na az. 115° w odległości 41m od anteny sektorowej az. 80°	2.0	0.007	0.007	0.007	0.009	0.12	53°21'41.8" 17°11'25.1"
31	PKP na az. 155° w odległości 44m od anteny sektorowej az. 190°	2.0	0.007	0.007	0.007	0.009	0.13	53°21'41.0" 17°11'24.0"
32	PKP na az. 170° w odległości 49m od anteny sektorowej az. 190°	2.0	0.006	0.006	0.006	0.008	0.11	53°21'40.7" 17°11'23.3"
33	PKP na az. 183° w odległości 50m od	2.0	0.007	0.007	0.007	0.009	0.12	53°21'40.7" 17°11'22.6"

Sprawozdanie z badań bez pisemnej zgody laboratorium nie może być powielane inaczej niż w całości.
 Wynik przedstawione w niniejszym sprawozdaniu odnoszą się wyłącznie do badanego obiektu i do warunków i konfiguracji urządzeń w dniu wykonywania pomiarów.

	anteny sektorowej az. 190°							
34	PKP na az. 197° w odległości 50m od anteny sektorowej az. 190°	2.0	0.006	0.006	0.006	0.008	0.1	53°21'40.7" 17°11'22.2"
35	PKP na az. 210° w odległości 50m od anteny sektorowej az. 190°	2.0	0.006	0.006	0.006	0.008	0.11	53°21'41.0" 17°11'21.5"
36	PKP na az. 225° w odległości 49m od anteny sektorowej az. 190°	2.0	0.007	0.007	0.007	0.009	0.12	53°21'41.0" 17°11'21.1"
37	PKP na az. 235° w odległości 46m od anteny sektorowej az. 270°	2.0	0.006	0.006	0.006	0.008	0.11	53°21'41.4" 17°11'20.8"
38	PKP na az. 250° w odległości 45m od anteny sektorowej az. 270°	2.0	0.007	0.007	0.007	0.009	0.12	53°21'41.8" 17°11'20.4"
39	PKP na az. 263° w odległości 43m od anteny sektorowej az. 270°	2.0	0.007	0.007	0.007	0.009	0.12	53°21'42.1" 17°11'20.4"
-	GKP w odległości 458m od anteny sektorowej az. 350°	0.3-2.0	<0.003*	<0.003*	<0.003*	0.003	0.05	53°21'56.9" 17°11'18.6"
-	GKP w odległości 470m od anteny sektorowej az. 80°	0.3-2.0	<0.003*	<0.003*	<0.003*	0.003	0.05	53°21'45.0" 17°11'48.1"
-	GKP w odległości 479m od anteny sektorowej az. 190°	0.3-2.0	<0.003*	<0.003*	<0.003*	0.003	0.05	53°21'27.0" 17°11'18.2"
-	GKP w odległości 469m od anteny sektorowej az. 270°	0.3-2.0	<0.003*	<0.003*	<0.003*	0.003	0.05	53°21'42.5" 17°10'57.4"

GKP – Główny Kierunek Pomiarowy

DPP – Dodatkowy Pion Pomiarowy

PKP – Pomocniczy Kierunek Pomiarowy

¹ wyniki oznaczone * są wynikami poniżej czułości zestawu pomiarowego i są wynikami spoza zakresu akredytacji. Do obliczenia wyniku skorygowanego przyjęto wartość skorelowaną z rzeczywistym wynikiem pomiaru - dolną granicę akredytowanego zakresu pomiarowego metody

² współrzędne geograficzne pozyskane metodą pomiaru bezpośredniego

³ do wyznaczenia wartości wskaźnikowej W_{ME} i W_{MH} przyjęto na podstawie uzgodnień z klientem oraz rozpoznania źródeł, jako wartości dopuszczalne pola elektrycznego i magnetycznego odpowiednio 28 V/m i 0,073 A/m.

⁴ do wyznaczenia niepewności dla wyników poniżej czułości zestawu pomiarowego, przyjęto niepewność dla minimalnej wartości z zakresu pomiarowego.

⁵ maksymalna wartość chwilowa

Niepewność oszacowano zgodnie z dokumentem P-03 „Procedura nadzoru nad wyposażeniem” w postaci niepewności rozszerzonej wynikającej z niepewności standardowej pomnożonej przez współczynnik rozszerzenia $k=2$.

Całkowita szacowana niepewność rozszerzona składowej E wynosi odpowiednio:

sonda SW-07: 28.8% dla częstotliwości do 4 GHz, sonda SW-08: 33.4% dla częstotliwości do 4 GHz

Umieszczenie pionów (punktów) pomiarowych przedstawiono w załączniku nr 2 do niniejszego sprawozdania.

10. Omówienie wyników pomiarów

W związku z tym, że żadna z wartości zmierzonych, udokumentowanych w tabelach w pkt. 9, uzyskanych w skutek zastosowania pomiaru szerokopasmowego, powiększonego o rozszerzoną niepewność pomiaru U dla współczynnika rozszerzenia $k = 2$ nie przekroczyła 70% najniższej dopuszczalnej wartości składowej elektrycznej lub magnetycznej pola dla objętych pomiarami zakresów częstotliwości, nie uwzględnia się poprawek pomiarowych.

W wyniku zastosowania sposobu sprawdzenia dotrzymania dopuszczalnych poziomów pól elektromagnetycznych w środowisku, zgodnie pkt 25 ppkt 1 Rozporządzenia Ministra Klimatu z dnia 17 lutego 2020 r. (Dz. U. 2022, poz. 2630), w związku z tym, że żadna z wartości wskaźnikowych, udokumentowanych w tabelach w pkt. 9 nie przekracza wartości 1, stwierdza się, że w miejscach, w których wykonano pomiary w otoczeniu

Sprawozdanie z badań bez pisemnej zgody laboratorium nie może być powielane inaczej niż w całości.

Wynik przedstawione w niniejszym sprawozdaniu odnoszą się wyłącznie do badanego obiektu i do warunków i konfiguracji urządzeń w dniu wykonywania pomiarów.

instalacji radiokomunikacyjnej 44115 (64115N!) PPI_ZAKRZEWO_KUJAN, dopuszczalne poziomy pól elektromagnetycznych w środowisku należy uznać za dotrzymane.

Miejsca niedostępne podczas wykonywania pomiarów wskazane zostały w pkt. 9 (Wyniki pomiarów) lub na załączniku przedstawiającym usytuowanie pionów pomiarowych

11. Podstawa prawna

- 1) Ustawa z dnia 27 kwietnia 2001 r. Prawo ochrony środowiska (Dz.U. 2022 poz. 2556)
- 2) Rozporządzenie Ministra Zdrowia z dnia 17 grudnia 2019 r. w sprawie dopuszczalnych poziomów pól elektromagnetycznych w środowisku (Dz. U. 2019, poz. 2448)
- 3) Rozporządzenie Ministra Klimatu z dnia 17 lutego 2020 r. w sprawie sposobów sprawdzania dotrzymania dopuszczalnych poziomów pól elektromagnetycznych w środowisku (Dz. U. 2022, poz. 2630),
- 4) Akredytacja nr AB 419 wydana przez Polskie Centrum Akredytacji (wydanie 22, z dnia 9 stycznia 2024 r.)

12. Spis załączników

- Załącznik 1. Lokalizacja obiektu badań
- Załącznik 2. Usytuowanie pionów (punktów) pomiarowych
- Załącznik 3. Dokumentacja fotograficzna obiektu badań

13. Data wydania i autoryzowania sprawozdania

Obliczenia i sprawozdanie wykonał :



Signed by /
Podpisano przez:

Date / Data: 2024-
02-07 13:03

Sprawozdanie autoryzował:

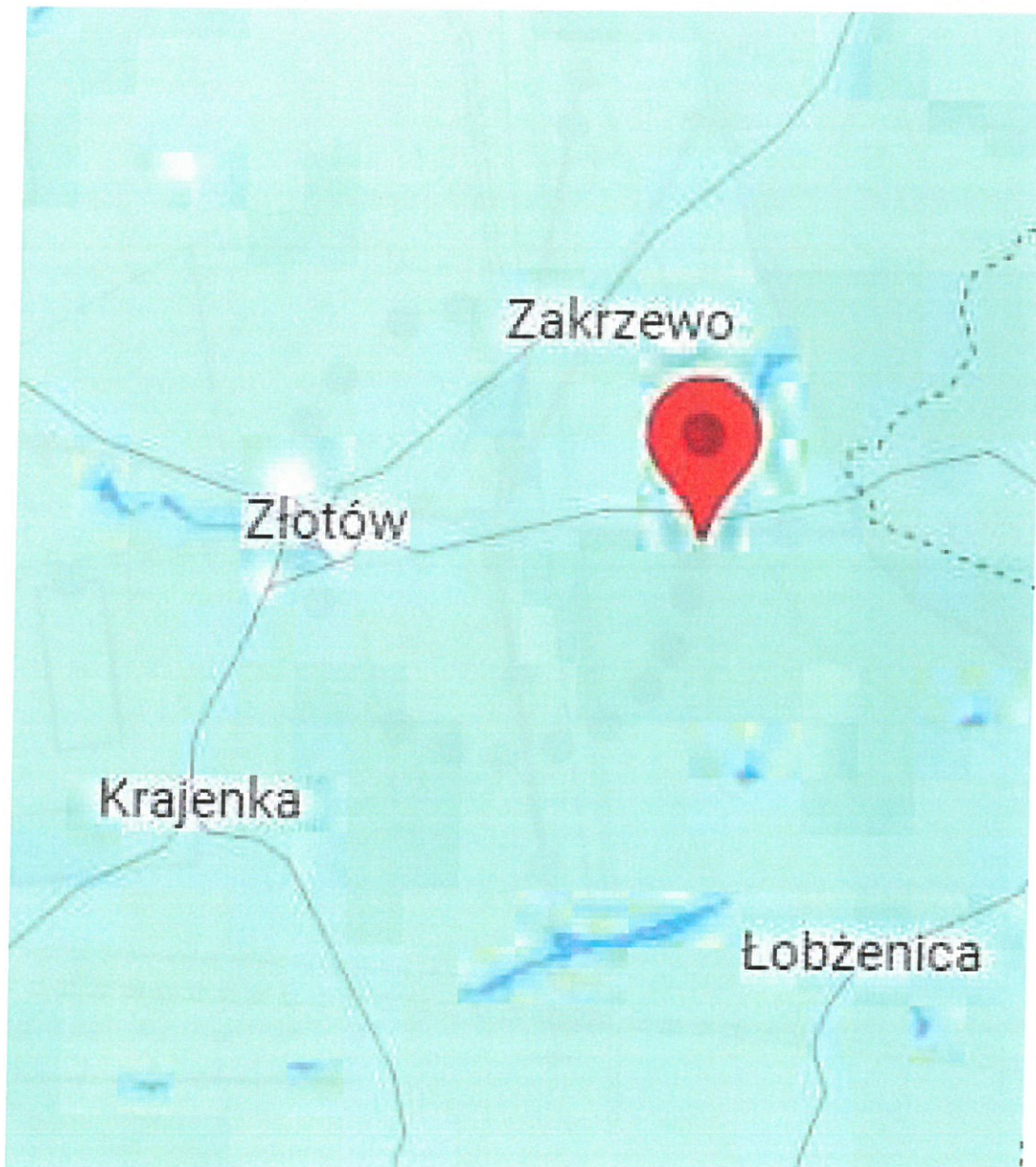


Signed by /
Podpisano przez:

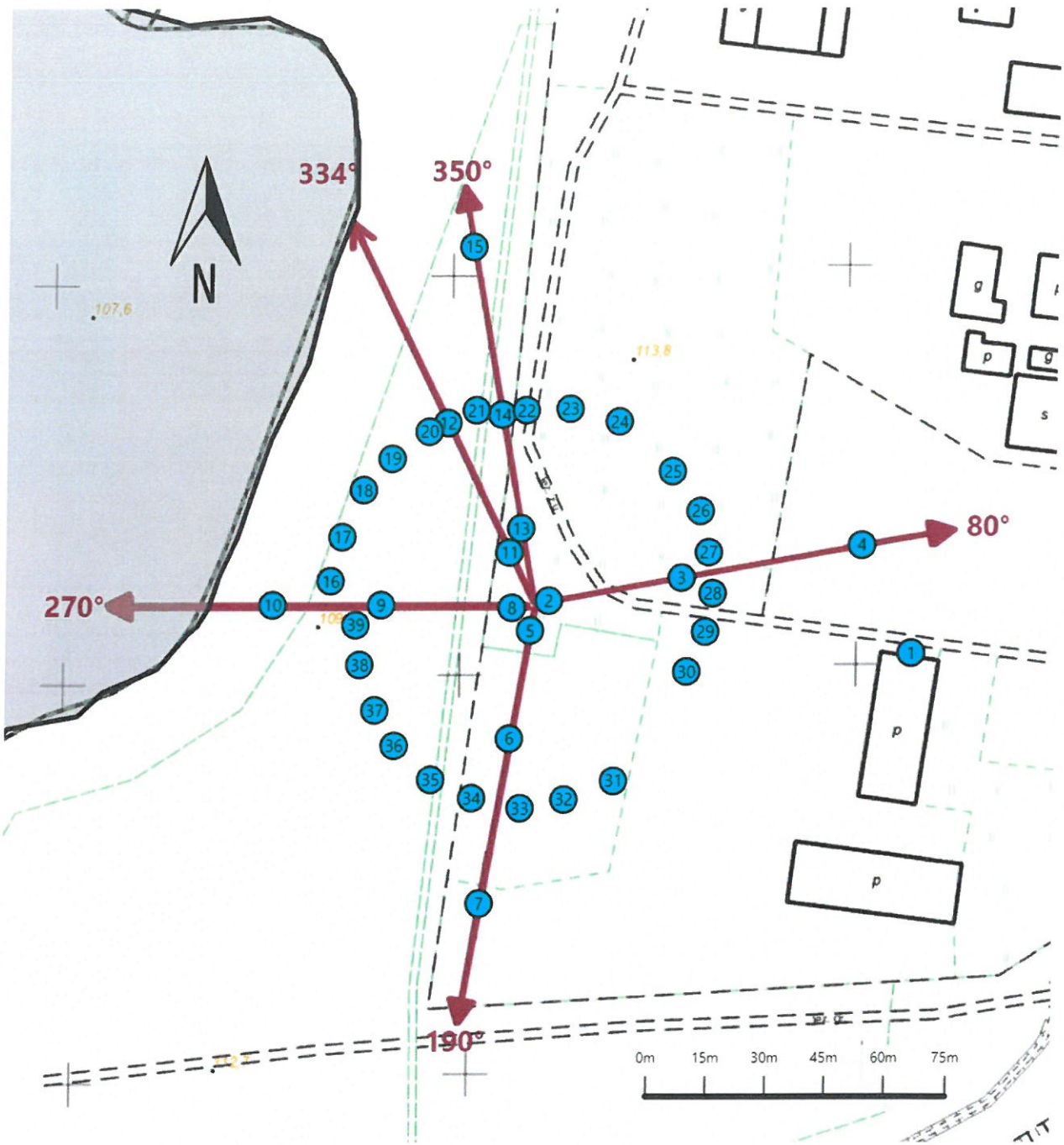
Date / Data:
2024-02-07
13:46




Koniec sprawozdania

Sprawozdanie z badań bez pisemnej zgody laboratorium nie może być powielane inaczej niż w całości.
Wynik przedstawione w niniejszym sprawozdaniu odnoszą się wyłącznie do badanego obiektu i do warunków i konfiguracji urządzeń w dniu wykonywania pomiarów.



Załącznik nr 1	Instalacja radiokomunikacyjna T-Mobile Polska S.A. 44115 (64115N!) PPI_ZAKRZEWO_KUJAN Lokalizacja instalacji
----------------	--



Załącznik nr 2	Instalacja radiokomunikacyjna T-Mobile Polska S.A. PPI_ZAKRZEWO_KUJAN (64115N!) Usytuowanie pionów pomiarowych w otoczeniu instalacji radiokomunikacyjnej
	Legenda: <div style="display: flex; justify-content: space-around; align-items: center;"> <div style="text-align: center;">  Pion pomiarowy </div> <div style="text-align: center;">  Kierunek oddziaływania anten sektorowych </div> <div style="text-align: center;">  Kierunek oddziaływania anten radioliniowych </div> </div>



Załącznik nr 3

Instalacja radiokomunikacyjna T-Mobile Polska S.A.
44115 (64115N!) PPI_ZAKRZEWO_KUJAN

Dokumentacja fotograficzna

